

北海道大学工学部 正員 上島 壮
 " " 高橋 将
 " " 正員 管原 照雄

1 はしがき

アスファルトコンクリートの配合設計法では、通常、飽和度とF/Aの二つの配合パラメータを同時に制御するとは難かしい。そこで前報では、フィラー、アスファルト、および空隙を一つの相として扱い、その和をその混合物の骨格構造固有の特性値として処理すると、上記2パラメータと一緒に制御できるこことを示した。

以下、フィラー容積をF、アスファルト容積をA、空隙をV、そして混合物全容積をMと略記するが、前報では、 $\frac{F+A}{M}$ を骨格間隙率、 $\frac{F+A}{M+V}$ をマトリックス飽和度と呼んだ。本報告でもこの手法を踏襲してフィラーとアスファルトの配合を定め、マーシャル試験、ホイールトラッキング試験、および曲げ試験の力学的特性と、F、A、Vなどに関する配合パラメータとの関係について検討した。^{*}第4回年次学術講演会、V-131、昭和54年

2 混合物と試験条件

- i) 骨格配合(碎石量%、仮定骨格間隙率)；(30%, 0.310), (40%, 0.285), (50%, 0.260), (60%, 0.245)
碎石割合(1/6:5/6)=1:1, 砂割合(粗目:細目)=2:1 注 碎石量；碎石/(碎石+砂)
- ii) 石灰石石粉とアスファルトの重量比(F/A)；1.0, 1.5, 2.0 の3条件 (アスファルト性状：針度87, 軟化点47.6)
- iii) マトリックス飽和度；上記仮定骨格間隙率の70, 80, 90, 100 %の4条件
- iv) ホイールトラッキング試験；45°C, 53.5 Kg, RD = (沈下量_{45°C} - 沈下量_{20°C}) / 15 mm/分
- v) 曲げ試験；厚み20mm, 幅30mm, スパン200mm, 变形速度10mm/分, 試験温度10°C(流動破壊)および-10°C(ゼイ性破壊) 注 ホイールトラッキング試料(試験後)にトラバース処理を行ひ、切り出して曲げ供試体とした。

3 空隙特性(図-1)

骨格間隙量の碎石量による差異は、碎石+砂100ccにつき10cc余り、骨格配合内の変動は数ccである。これらの数値の意義については本報告では検討していない。

4 力学特性と配合パラメータとの相関(図-2)

- i) RD；碎石30%配合の多くは著しく不安定である。他の配合では、A/(A+V), (F/A)/(F+A)について、90%附近を越えると不安定となる。
- ii) フロー値；V/M, A/(A+V), (F+A)/(F+A+V)どれかに強く支配される。
- iii) 流動領域の破断ひずみ(SN(10))；A/Mに強く支配され、F/(F+A)はマイナスの要因となる。
- iv) ゼイ性領域の破断ひずみ(SN(-10))；F/(F+A)がマイナスの要因と思われる他は傾向がない。

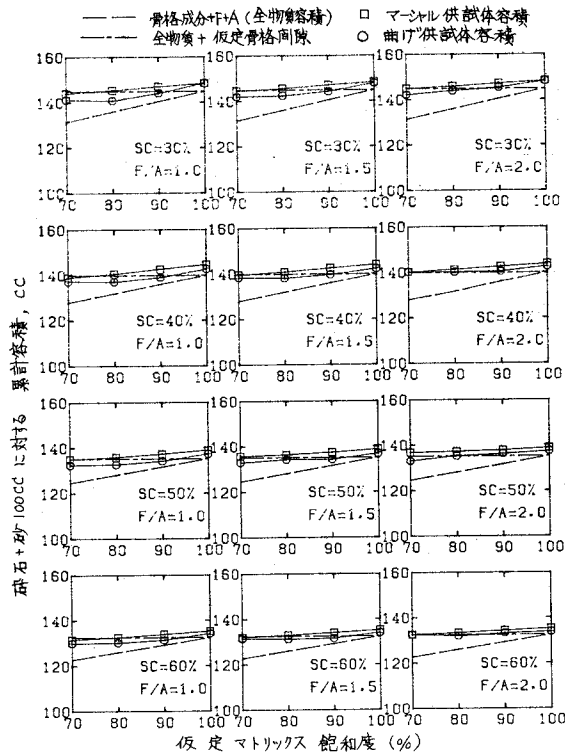


図-1 各配合の空隙特性

- v) 安定度 (STAB); 碎石量の影響が大きいので、ここに示した要因群は2次的效果となる。A/M, (F+A)/M は安定度を低くする傾向があり、F/(F+A) は高める。
- vi) 流動領域の曲げ強度 (SS(10)); A/M, (F+A)/M, A/(A+V), (F+A)/(F+A+V) のいずれかの要因によつてピークを持つ傾向がある。F/(F+A) は強度を高める。
- vii) ゼイ性領域の曲げ強度 (SS(-10)); F/M, (F+A)/M, A/(A+V), (F+A)/(F+A+V) は強度を増大させる。V/M はマイナス要因となる。
- viii) A/M と (F+A)/M, および A/(A+V) と (F+A)/(F+A+V) に関する相関パターンは似た傾向をもつ。
- ix) マトリックス飽和度による設定混合物群の特性は、実用的合材の領域をカバーしており、最適量は仮定飽和度 80~90 % の範囲と思われる。

なお、本研究は、伊藤文二、横山正丈両君の協力を得て行なった。

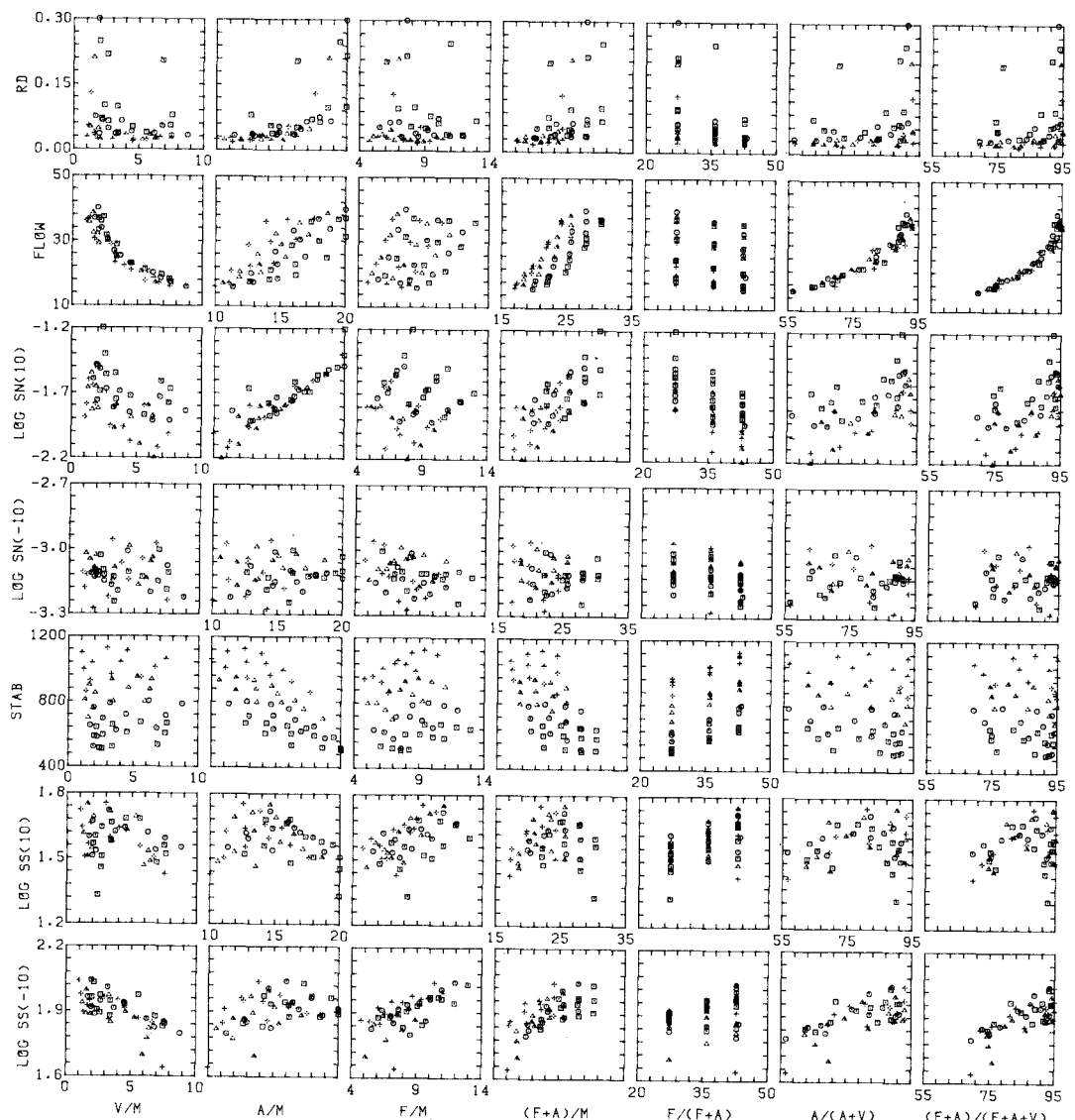


図-2 力学的特性と配合パラメータとの相関 (V, M は曲げ供試体データによる)